

CAYLEYGRAPHEN & DER CAYLEYGRAPH VON $PSL_2(\mathbb{F}_7)$

§1 Cayleygraphen

1.1 Def.

Sei G eine (endliche oder unendliche) Gruppe,
sei $\emptyset \neq S \subseteq G$ endliche Teilmenge mit
 $S = S^{-1}$ (d.h. S ist symmetrisch)

Der Cayleygraph $\Gamma(G, S)$
ist definiert als der Graph mit

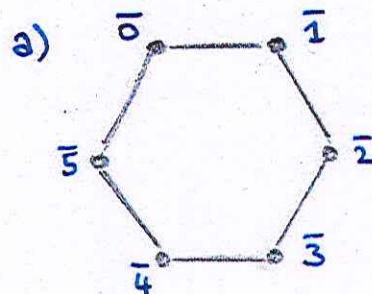
- Eckenmenge $V = G$
- Kantenmenge $E = \{ \{x, y\} \mid x, y \in G, \exists s \in S: y = xs \}$

D.h. zwei Ecken sind benachbart genau dann, wenn
die eine durch Verknüpfung (von rechts) mit
einem Element aus S aus der anderen entsteht.

Da S symmetrisch ist, ist diese Relation symmetrisch
und der Graph ist ungerichtet
(Wir wählen keine Orientierung/Pfeile für die Kanten)

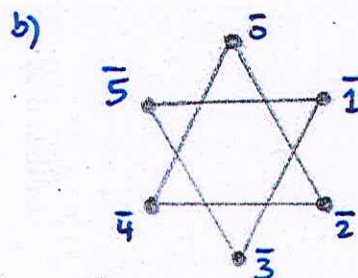
$$\exists s \in S: y = xs \quad S = S^{-1} \quad (\Leftrightarrow) \quad \exists s^{-1} \in S: y s^{-1} = x$$

1.2 Beispiele



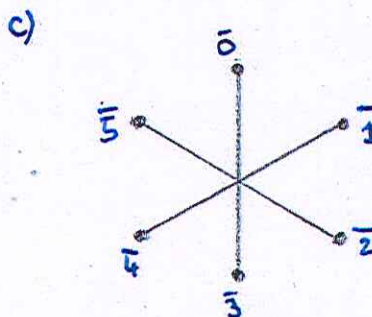
$$G = \mathbb{Z}/6$$

$$S = \{1, 5\}$$



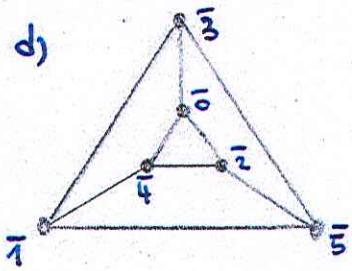
$$G = \mathbb{Z}/6$$

$$S = \{2, 4\}$$



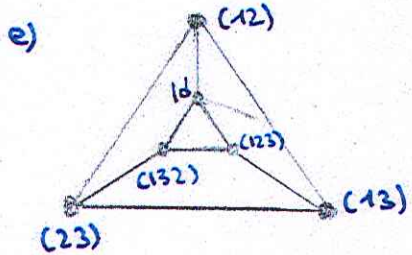
$$G = \mathbb{Z}/6$$

$$S = \{3\}$$



$$G = \mathbb{Z}/4\mathbb{Z}$$

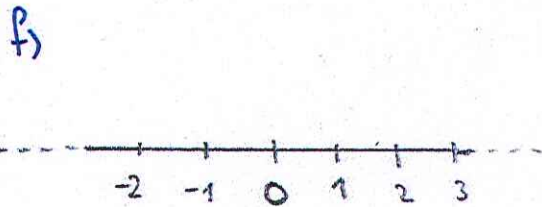
$$S = \{2, 4, 3\}$$



$$G = \text{Sym}(3)$$

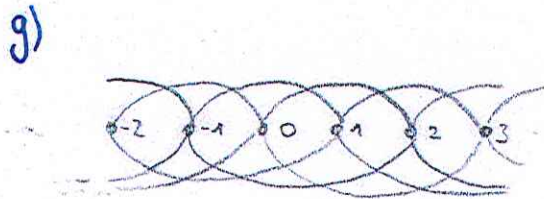
$$S = \{(123), (132), (12)\}$$

Bem: Nicht isomorphe Gruppen können isomorphe Cayleygraphen haben.



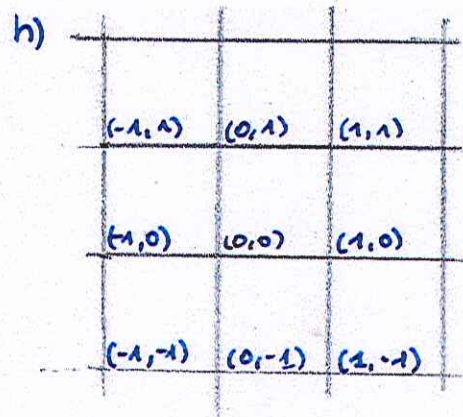
$$G = \mathbb{Z}$$

$$S = \{1, -1\}$$



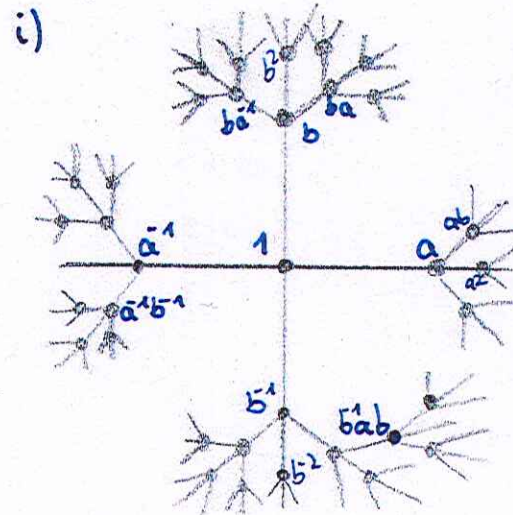
$$G = \mathbb{Z}$$

$$S = \{2, 3, -2, -3\}$$



$$G = \mathbb{Z} \times \mathbb{Z}$$

$$S = \{(1,0), (-1,0), (0,1), (0,-1)\}$$



$$G = F_2 = F(\{a, b\})$$

$$S = \{a, a^{-1}, b, b^{-1}\}$$

Bem: Im Allgemeinen gilt für die freie Gruppe F_m über m Erzeugern a_1, \dots, a_m mit $S = \{a_1, a_1^{-1}, a_2, \dots, a_m, a_m^{-1}\}$, dass der Cayleygraph $\Gamma(F_m, S)$ der $2m$ -reguläre Baum ist

1.3. Erinnerung

⑤

Ein Graph $X = (V, E)$ mit Adjazenzmatrix
 $A = (a_{ij})_{i,j}$ ($a_{ij} = a_{v_i, v_j}$ Anzahl der Kanten, die
 v_i mit v_j verbinden)
heißt

• einfach, wenn gilt:

$$a_{ij} \in \{0, 1\} \quad \forall i, j$$

• k-regulär, wenn gilt:

$$\sum_i a_{ij} = k \quad \forall v_j \in V$$

↳ Ist ein Graph einfach und k-regulär, dann heißt das, dass jede Ecke genau k Nachbarn hat.

• bi-partit, wenn gilt:

Es existiert eine Partition $V = V_+ \cup V_-$
der Ecken, sodass $\forall \{u, v\} \in E$ mit $a_{u,v} \neq 0$ gilt:

$$u \in V_+ \Rightarrow v \in V_-$$

$$u \in V_- \Rightarrow v \in V_+$$

(Ecken von X können in 2 Farben gefärbt werden,
sodass benachbarte Ecken verschiedene Farben
haben)

1.4 Proposition

⑥

Sei $\Gamma(G, S)$ ein Cayleygraph, setze
 $k := \#S$. Dann gilt

i) $\Gamma(G, S)$ ist ein einfacher, k-regulärer Graph,
und die Wirkung $G \curvearrowright \Gamma(G, S)$
 $g \mapsto [x \mapsto gx]$
ist transitiv.

ii) $\Gamma(G, S)$ enthält keine Schleifen $\Leftrightarrow 1 \notin S$

iii) $\Gamma(G, S)$ ist zusammenhängend $\Leftrightarrow G = \langle S \rangle$

iv) Gibt es einen Gruppenhomomorphismus

$$f: G \rightarrow (\{1, -1\}, \cdot)$$

$$\text{mit } f(S) = \{-1\}$$

\Rightarrow dann ist $\Gamma(G, S)$ bi-partit.

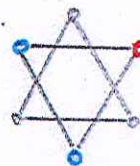
Die Umkehrung gilt, wenn $\Gamma(G, S)$ zsmhgd. ist.

Bemerkung

Die Beispiele b) und c) sind nicht zusammenhgd.
 $\langle \{3\} \rangle \neq \mathbb{Z}/6 \neq \langle \{2, 4\} \rangle$

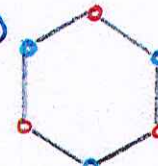
Die Beispiele b), d), e) und g) sind nicht bi-partit.

b)



nicht
bi-partit

d)



bi-partit

Beweis von 1.4

i) Die Adjazenz-Matrix von $\Gamma(G, S)$ ist

$$a_{ij} = \begin{cases} 1 & , \text{ wenn } s \in S \text{ exist. sodass } v_j = v_i s \\ 0 & , \text{ sonst} \end{cases}$$

$\Rightarrow \Gamma(G, S)$ ist einfach und k -regulär.

Sei nun $G \cong \Gamma(G, S)$ Wirkung von links.
 $g \mapsto [x \mapsto gx]$

\mathbb{Z} : Wirkung ist transitiv.

Seien $x, y \in V$ beliebige Ecken. Wähle

$$g := yx^{-1} \in G \text{ (weil } G \text{ Gruppe)}$$

$\Rightarrow gx = yx^{-1}x = y \Rightarrow$ Wirkung ist transitiv.

ii) Angenommen, $\Gamma(G, S)$ enthält Schleife \circ

$$\Rightarrow \exists s \in S: x = xs \Rightarrow s = 1 \Rightarrow 1 \in S$$

Ist $1 \in S \Rightarrow x \cdot 1 = x \Rightarrow$ Es gibt Kante von x nach x \circ

iii) $\Gamma(G, S)$ ist zsh. \Leftrightarrow jedes $x \in G$ ist mit

$1 \in G$ über einen Kantenzug verbunden

\Leftrightarrow jedes $x \in G$ kann als Wort über S dargestellt werden

$\Leftrightarrow S$ erzeugt G

iv) \Rightarrow ist der Gruppenhomom. $f: G \rightarrow (\{\pm 1\}, \cdot)$

mit $f(S) = \{-1\}$ gegeben, so definiere

$$V_+ = \{x \in G: f(x) = +1\}$$

$$V_- = \{x \in G: f(x) = -1\}$$

\mathbb{Z} : $V = V_+ \cup V_-$ ist Bi-partition.

Betrachte benachbarte Ecken $x, y \in V$ $x \xrightarrow{y=xs}$

$$\Rightarrow \exists s \in S \text{ mit } y = xs$$

Dann ist

$$f(y) = f(xs) \stackrel{\text{Gr.hom.}}{=} f(x) f(s) \stackrel{s \in V_-}{=} f(x) \cdot (-1)$$

$$= \begin{cases} 1 & , f(x) = -1 \\ -1 & , f(x) = 1 \end{cases}$$

$$\Rightarrow \begin{cases} x \in V_- \Rightarrow y \in V_+ \\ x \in V_+ \Rightarrow y \in V_- \end{cases} \Rightarrow \text{bi-partit}$$

" \Leftarrow " Sei $\Gamma(G, S)$ zsmh. und bi-partit mit
 $V = V_+ \cup V_-$, wobei $1 \in G$ in V_+ enthalten ist.

Jedes $s \in S$ ist mit 1 verbunden

$\stackrel{\text{bi-partit}}{\Rightarrow}$ 1 und s liegen in verschiedenen Mengen $\Rightarrow s \in V_-$

Definiere

$$f: G \rightarrow \{\pm 1\}, f(x) = \begin{cases} 1 & , \text{ falls } x \in V_+ \\ -1 & , \text{ falls } x \in V_- \end{cases}$$

Da $\Gamma(G, S)$ zsmh. ist, erzeugt S G (iii).

Sei $l_S(x)$ die Wortlänge von $x \in G$ bzgl. S .

$$\Rightarrow f(x) = (-1)^{l_S(x)}$$

\mathbb{Z} : f ist Gruppenhomomorphismus

Seien $x, y \in G$ beliebig.

$$f(xy) = (-1)^{l_S(xy)} = (-1)^{l_S(x) + l_S(y) - 2k}$$

$$= (-1)^{l_S(x) + l_S(y)} = (-1)^{l_S(x)} \cdot (-1)^{l_S(y)}$$

$$= f(x) f(y)$$

$\Rightarrow f$ ist Gruppenhomomorphismus

§2 Der Cayleygraph von $\text{PSL}_2(q)$

2.1 Prop. A

Sei q eine ungerade Primzahlpotenz

\Rightarrow Dann existieren $x, y \in \mathbb{F}_q$ mit

$$x^2 + y^2 + 1 = 0$$

Beweis:

In \mathbb{F}_q gibt es (0 mitgezählt)

$\frac{q+1}{2}$ Quadratzahlen.

Definiere

$$A_+ := \{1 + x^2 : x \in \mathbb{F}_q\}$$

$$A_- := \{-y^2 : y \in \mathbb{F}_q\}$$

Da

$$\# A_+ = \# A_- = \frac{q+1}{2}$$

$\# \mathbb{F}_q = q$

$$\Rightarrow A_+ \cap A_- \neq \emptyset$$

\Rightarrow Es exist. $x, y \in \mathbb{F}_q$ mit

$$1 + x^2 = -y^2 \quad (\Leftrightarrow) \quad 1 + x^2 + y^2 = 0$$

(9)

Prop. B

Sei K ein Körper mit $\text{char}(K) \neq 2$.

Angenommen, es gibt $x, y \in K$ mit:

$$x^2 + y^2 + 1 = 0$$

\Rightarrow Dann ist $\text{IH}(K) \cong K^{2 \times 2}$

wobei der Isomorph. $\Psi: \text{IH}(K) \rightarrow K^{2 \times 2}$ gegeben ist durch: $\alpha = a_0 + a_1 i + a_2 j + a_3 k \in \text{IH}(K)$

$$\Psi(\alpha) = \begin{pmatrix} a_0 + a_1 x + a_3 y & -a_1 y + a_2 + a_3 x \\ -a_1 y - a_2 + a_3 x & a_0 - a_1 x - a_3 y \end{pmatrix}$$

und es gilt für $\alpha \in \text{IH}(K)$

i) $\det(\Psi(\alpha)) = N(\alpha)$ und

$$\text{Tr}(\Psi(\alpha)) = \alpha + \bar{\alpha}$$

ii) gilt $\alpha = \bar{\alpha}$

$$\Rightarrow \Psi(\alpha) = \begin{pmatrix} \lambda & 0 \\ 0 & \lambda \end{pmatrix}, \lambda \in K \text{ skalare Matrix}$$

Erinnerung: (Vorlesung 9 §5.1)

$$S_p = \{\alpha_i, \bar{\alpha}_i, \dots, \alpha_s, \bar{\alpha}_s, \beta_1, \dots, \beta_t\} \subseteq \text{IH}(\mathbb{Z})$$

ist Menge von Quaternionen der Norm p

Es gilt: $\# S_p = p + 1, \forall i:$

α_i hat $a_0 > 0 \Rightarrow \bar{\alpha}_i \in S_p$

(10)

2.2 Konstruktion von $S_{p,q}$

Seien $p \neq q$ ungerade Primzahlen, sei

$T_q: \mathbb{H}(\mathbb{Z}) \rightarrow \mathbb{H}(\mathbb{F}_q)$ die Projektion

Prop. A $\Rightarrow \exists x, y \in \mathbb{F}_q$ mit: $x^2 + y^2 + 1 = 0 \pmod{q}$

Prop. B $\Rightarrow \exists$ Isomorphismus

$\Psi_q: \mathbb{H}(\mathbb{F}_q) \xrightarrow{\cong} \mathbb{F}_q^{2 \times 2}$ mit

a) $N(\alpha) = \det \Psi_q(\alpha)$ für $\alpha \in \mathbb{H}(\mathbb{F}_q)$

b) Gilt für $\alpha \in \mathbb{H}(\mathbb{F}_q)$ $\alpha = \bar{\alpha}$

\Rightarrow so ist $\Psi_q(\alpha)$ eine Skalarmatrix

Für $\alpha \in S_p$ gilt:

$\Psi_q(T_q(\alpha)) \in GL_2(q) \subseteq \mathbb{F}_q^{2 \times 2}$

denn:

$\det \Psi_q(T_q(\alpha)) \stackrel{a)}{=} N(\alpha) \stackrel{\alpha \in S_p}{=} p \neq q$

Außerdem ist

$\Psi_q(T_q(\alpha \bar{\alpha})) = \Psi_q(T_q(\bar{\alpha} \alpha))$

eine Skalarmatrix $\neq 0$ in $GL_2(q)$ ($N(\alpha \bar{\alpha}) = p^2$)

Sei weiter

$\varphi: GL_2(q) \rightarrow PGL_2(q) = \frac{GL_2(q)}{\underbrace{\left\{ \begin{pmatrix} \lambda & 0 \\ 0 & \lambda \end{pmatrix} : \lambda \in \mathbb{F}_q \right\}}_{\text{Ker } \varphi}}$

Homomorphismus,

dessen Kern genau die Unterg. der Skalarmatrizen ist

Also:

$\mathbb{H}(\mathbb{Z}) \xrightarrow{T_q} \mathbb{H}(\mathbb{F}_q) \xrightarrow[\cong]{\Psi_q} \mathbb{F}_q^{2 \times 2}$
 \cup
 $GL_2(q) \xrightarrow{\varphi} PGL_2(q)$

Setze nun

$S_{p,q} := (\varphi \circ \Psi_q \circ T_q)(S_p)$

Unter den Abbildungen ist α invers zu $\bar{\alpha}$

und wegen $-\beta = p$

ist das Bild von β zu sich selbst invers

$\Rightarrow S_{p,q}^{-1} = S_{p,q}$

und es gilt: $S_{p,q} \subseteq PGL_2(q)$

2.3 Lemma

Ist $q > 2\sqrt{p} \Rightarrow \# S_{p,q} = p+1$

Beweis:

Seien $\alpha = a_0 + a_1 i + a_2 j + a_3 k$

$\beta = b_0 + b_1 i + b_2 j + b_3 k$

$\alpha, \beta \in S_p, \alpha \neq \beta$. Zz: $\varphi \circ \psi_q \circ \tau_q(\alpha) \neq \varphi \circ \psi_q \circ \tau_q(\beta)$

Es gibt $i \in \{0, 1, 2, 3\}$ mit $a_i \neq b_i$

Da $N(\alpha) = N(\beta) = p \Rightarrow a_\ell, b_\ell \in (-\sqrt{p}, \sqrt{p}) \forall \ell \in \{0, 1, 2, 3\}$

Ist $q > 2\sqrt{p} \Rightarrow a_i \not\equiv b_i \pmod{q}$

und $\tau_q(\alpha) \neq \tau_q(\beta)$

Setze $A := \psi_q \circ \tau_q(\alpha)$

$B := \psi_q \circ \tau_q(\beta)$

$\Rightarrow A \neq B$ in $GL_2(q)$ z: $\varphi_A \neq \varphi_B$

$A: \varphi_A = \varphi_B$ in $PGL_2(q)$

\Rightarrow Dann gibt es $\lambda \in \mathbb{F}_q^\times, \lambda \neq 1$ mit $A = \lambda B$

Betrachte die Determinanten:

$$p = \det A = \lambda^2 \det B = \lambda^2 p$$

$\Rightarrow \lambda = 1$ oder $\lambda = -1$

$\lambda = 1$ wäre bereits widerspr.

$$\lambda = -1 \Rightarrow A = -B \Rightarrow \alpha \equiv -\beta \pmod{q}$$

$$\text{d.h. } a_\ell \equiv -b_\ell \pmod{q} \quad \forall \ell \in \{0, 1, 2, 3\}$$

$$\text{Da } q > 2\sqrt{p} \Rightarrow a_\ell = -b_\ell$$

$$\Rightarrow \alpha = -\beta$$

Nach Ann. $a_0, b_0 \geq 0$

$$\Rightarrow a_0 = b_0 = 0$$

$$\Rightarrow \beta = \bar{\alpha} \quad \Downarrow$$

Dies steht jedoch im Widerspruch zur Def. von S_p ,

denn: für $\alpha \in S_p$ mit $a_0 = 0$ folgt $\bar{\alpha} \notin S_p$.

2.4 Der Cayleygraph von $PSL_2(q)$

a) Ist p Quadratzahl modulo q ,

$$\Rightarrow S_{p,q} \subseteq PSL_2(q)$$

wir definieren: $\chi^{p,q} := \Gamma(PSL_2(q), S_{p,q})$

b) Ist p keine Quadratzahl modulo q ,

$$\Rightarrow S_{p,q} \subseteq PGL_2(q) - PSL_2(q)$$

wir definieren: $\chi^{p,q} := \Gamma(PGL_2(q), S_{p,q})$

2.5 Theorem

(15)

Seien $p \neq q$ ungerade Primzahlen, $q > 2p$
 \Rightarrow Die Graphen $X^{p,q}$
sind zusammenhängende, $(p+1)$ -reguläre
Ramanujan Graphen.

Weiter gilt:

a) Ist p eine Quadratzahl modulo q
 $\Rightarrow X^{p,q}$ ist nicht bi-partiter Graph
mit $\frac{q(q^2-1)}{2}$ Ecken, der die
folgende Abschätzung für den Umfang erfüllt:
$$g(X^{p,q}) \geq 2 \log_p q$$

b) Ist p keine Quadratzahl modulo q ,
 $\Rightarrow X^{p,q}$ ist bi-partiter Graph mit
 $q(q^2-1)$ Ecken, der die folgende
Abschätzung für den Umfang erfüllt:
$$g(X^{p,q}) \geq 4 \log_p q - \log_p 4$$

2.6 Bemerkung

(16)

Beweisteile:

- i) Lemma 2.3 und Prop. 1.4(ii) \Rightarrow $(p+1)$ -regulär
- ii) Anzahl der Ecken entspricht der Kardinalität
von $\text{PSL}_2(q)$ bzw. $\text{PGL}_2(q)$
 \leadsto siehe Vortrag 10 § 1.7
- iii) im Fall b): Betrachte den Gruppenhomom.
$$f: \text{PGL}_2(q) \longrightarrow \frac{\text{PGL}_2(q)}{\text{PSL}_2(q)} \cong \{\pm 1\}$$

Es gilt $f(S_{p,q}) = \{-1\} \xrightarrow{\text{Prop. 1.4 (iv)}} \text{bi-partit}$
- iv) Außerdem kann man nachrechnen:
 $X^{p,q}$ hat keine Schleifen ($1 \notin S_{p,q}$ nach 1.4ii)

Ausblick:

- v) Zusammenhang von $X^{p,q}$ wichtig \leadsto § 4.3
Nach 1.4(iii) genügt es dafür zu zeigen:
 $S_{p,q}$ erzeugt $\text{PSL}_2(q)$ bzw. $\text{PGL}_2(q)$
(mit stärkerer Voraussetzung: $q > p^8$)
- vi) Für festes p ist $(X^{p,q})_q$ prim
Familie von Expandergraphen.
Man kann die untere Schranke der
spektralen Lücke explizit berechnen.